

## 第七讲：多原子分子

分子轨道法与HMO

## 1. 分子轨道理论概述

---

### 1、基本近似

非相对论近似、B.-O. 近似、轨道近似、LCAO-MO近似

### 2、成键三原则

能量相近、最大重迭、对称性匹配

### 3、电子组态构造规则

能量最低、Pauli原理、Hund规则

### 4、分子轨道的性质

单电子哈密顿算符的本征函数、属于点群的不可约表示、满足正交归一性。

### 2. 水分子的分子轨道法定性处理

1)、组成分子轨道的原子轨道集合

氧原子基态电子组态:  $(1s)^2 (2s)^2 (2p)^4$

1s、2s、2p的轨道能分别为: -542.6 eV、-32.4 eV、-15.6 eV

氢原子基态电子组态:  $(1s)^2$

1s轨道能为: -13.6 eV

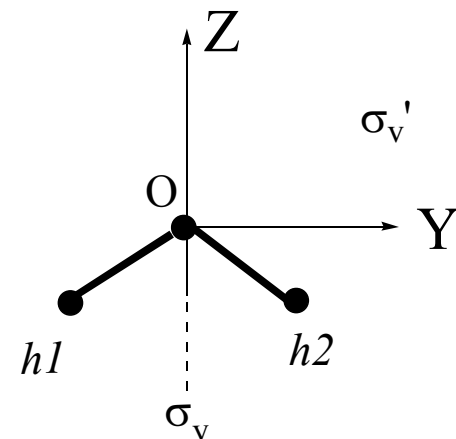
由氧的 1s、2s、2p轨道和两个氢的 1s轨道将组成7个分子轨道



原子轨道线性组合分子轨道

## 2. 水分子的分子轨道法定性处理

### 2)、原子轨道的对称分类



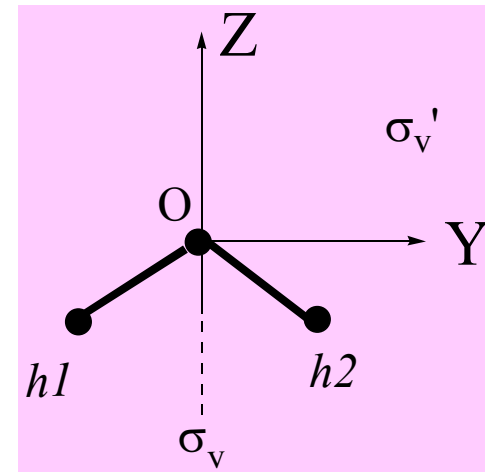
$\text{C}_{2V}$ 点群的特征标表

$\text{C}_{2V}$	$E$	$C_2$	$\sigma_v(xz)$	$\sigma_v'(yz)$	
$A_1$	1	1	1	1	$z$
$A_2$	1	1	-1	-1	
$B_1$	1	-1	1	-1	$x$
$B_2$	1	-1	-1	1	$y$

## 2. 水分子的分子轨道法定性处理

### (i) 氧的原子轨道按分子点群不可约表示分类

$C_{2V}$	$E$	$C_2$	$\sigma_V(xz)$	$\sigma_V'(yz)$	
s	s	s	s	s	$A_1$
$p_z$	$p_z$	$p_z$	$p_z$	$p_z$	$A_1$
$p_y$	$p_y$	$-p_y$	$-p_y$	$p_y$	$B_2$
$p_x$	$p_x$	$-p_x$	$p_x$	$-p_x$	$B_1$



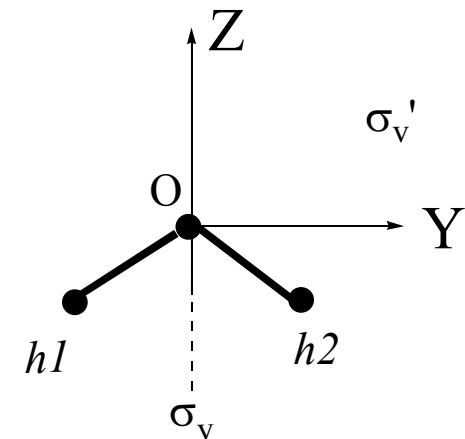
$$\begin{array}{ccccccc}
 1s, & 2s, & 2p_z & \text{----} & a_1 & ; & 2p_y \\
 & \text{---} & b_1 & & & & 2p_x \\
 & & & & & & -
 \end{array}$$

$$\Gamma_O = 3a_1 + b_1 + b_2$$

## 2. 水分子的分子轨道法定性处理

(ii) 氢原子的1s原子轨道 ( $h_1, h_2$ ) 按分子点群不可约表示分类

$C_{2V}$	$E$	$C_2$	$\sigma_V(xz)$	$\sigma_V'(yz)$
$h_1$	$h_1$	$h_2$	$h_2$	$h_1$
$h_2$	$h_2$	$h_1$	$h_1$	$h_2$
$\chi$	2	0	0	2



以  $(h_1, h_2)$  为基的二维表示可约化为:  $\Gamma_{h1,h2} = a_1 + b_2$

$$\Gamma_O = 3a_1 + b_1 + b_2$$

水的分子轨道的对称性分类

:

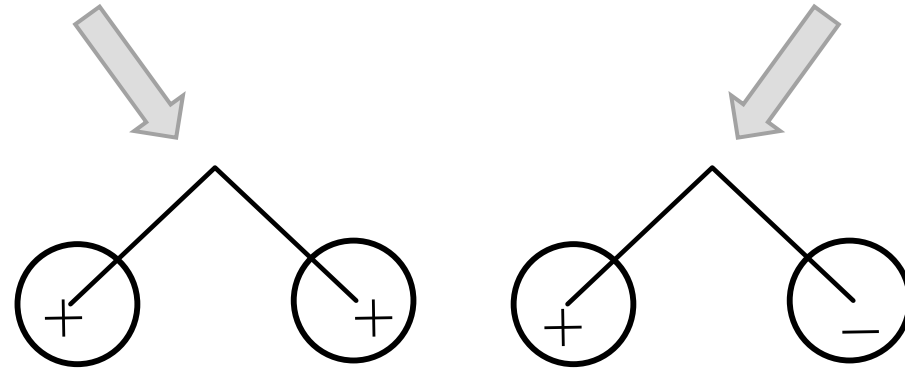
$$\Gamma_{MO} = 4a_1 + b_1 + 2b_2$$

## 2. 水分子的分子轨道法定性处理

(iii) 由氢原子的原子轨道 ( $h_1, h_2$ ) 构成的群轨道 (SALC)

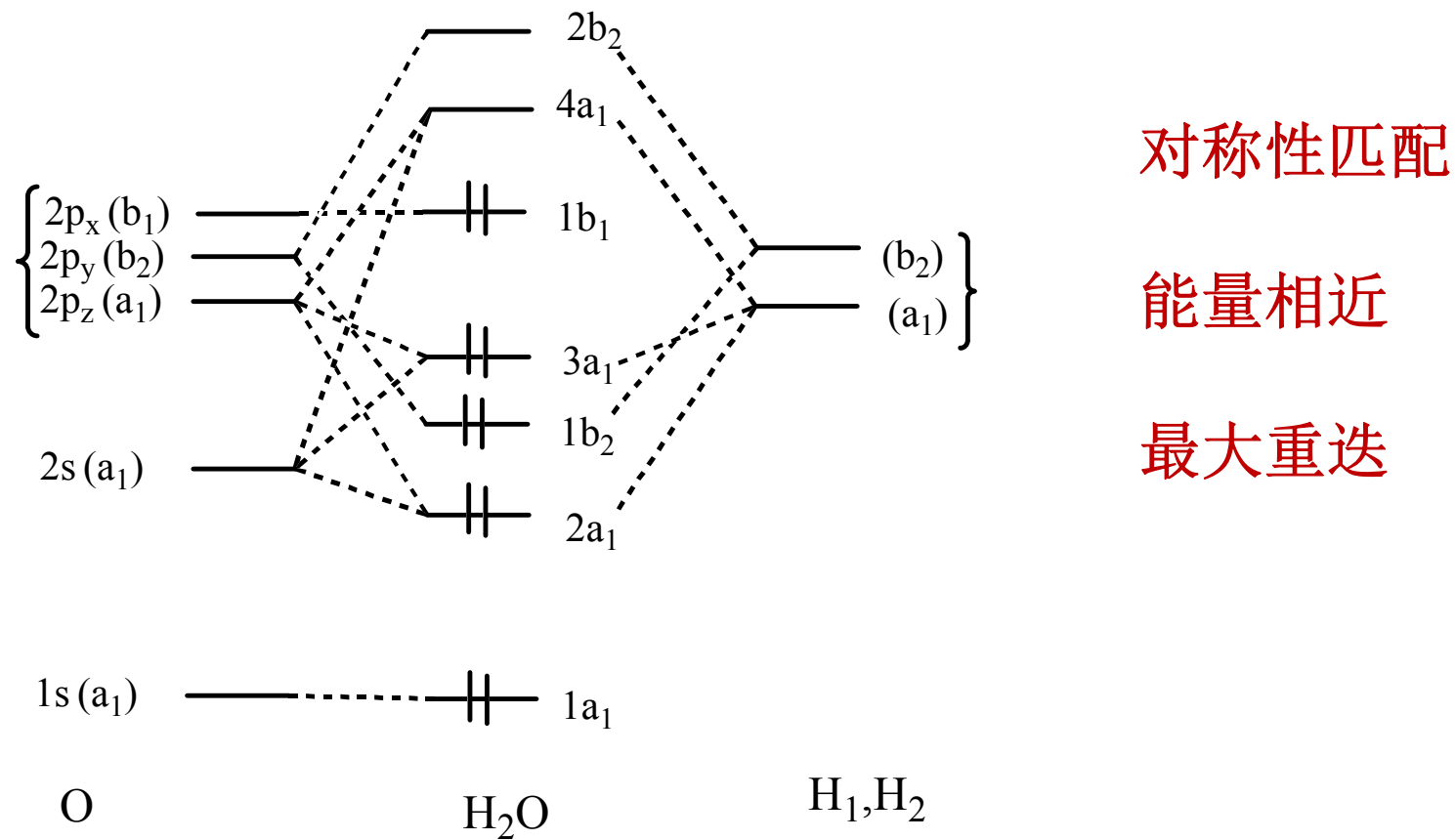
$$g_{a1} \propto \hat{p}^{a1} h_1 = \frac{1}{4} (\hat{E} + \hat{C}_2 + \hat{\sigma}_V + \hat{\sigma}_V') h_1 = \frac{1}{2} (h_1 + h_2)$$

$$g_{b2} \propto \hat{p}^{b2} h_1 = \frac{1}{4} (\hat{E} - \hat{C}_2 - \hat{\sigma}_V + \hat{\sigma}_V') h_1 = \frac{1}{2} (h_1 - h_2)$$

 $g_{a1}$  $g_{b2}$

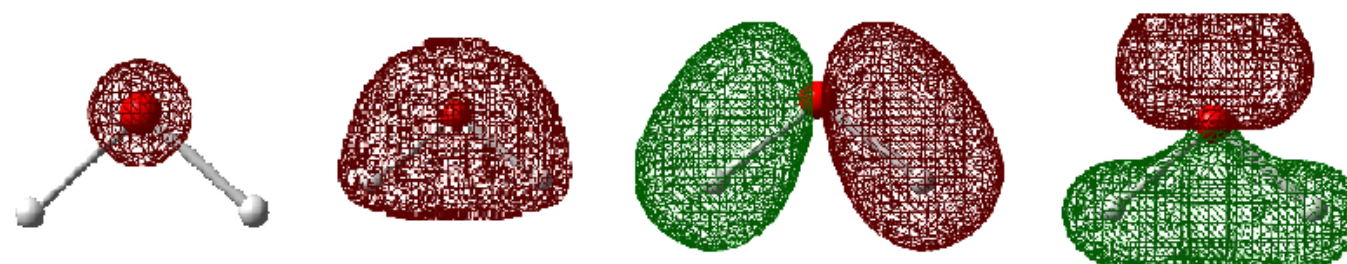
## 2. 水分子的分子轨道法定性处理

3)、能级图



## 2. 水分子的分子轨道法定性处理

水的分子轨道图形（界面图）

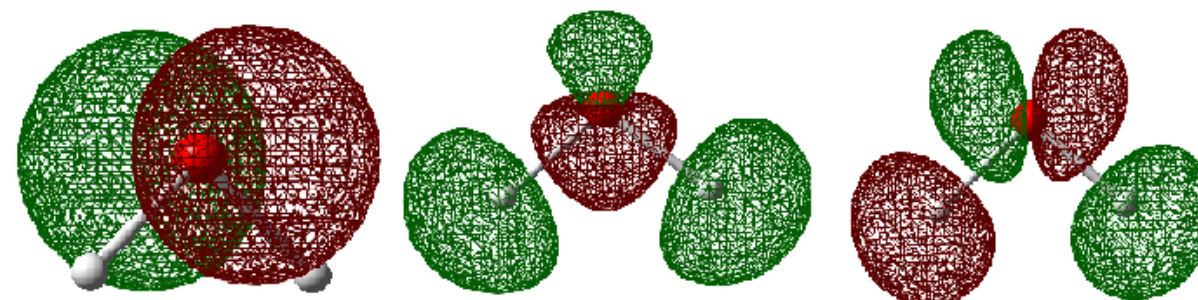


1a1

2a1

1b2

3a1



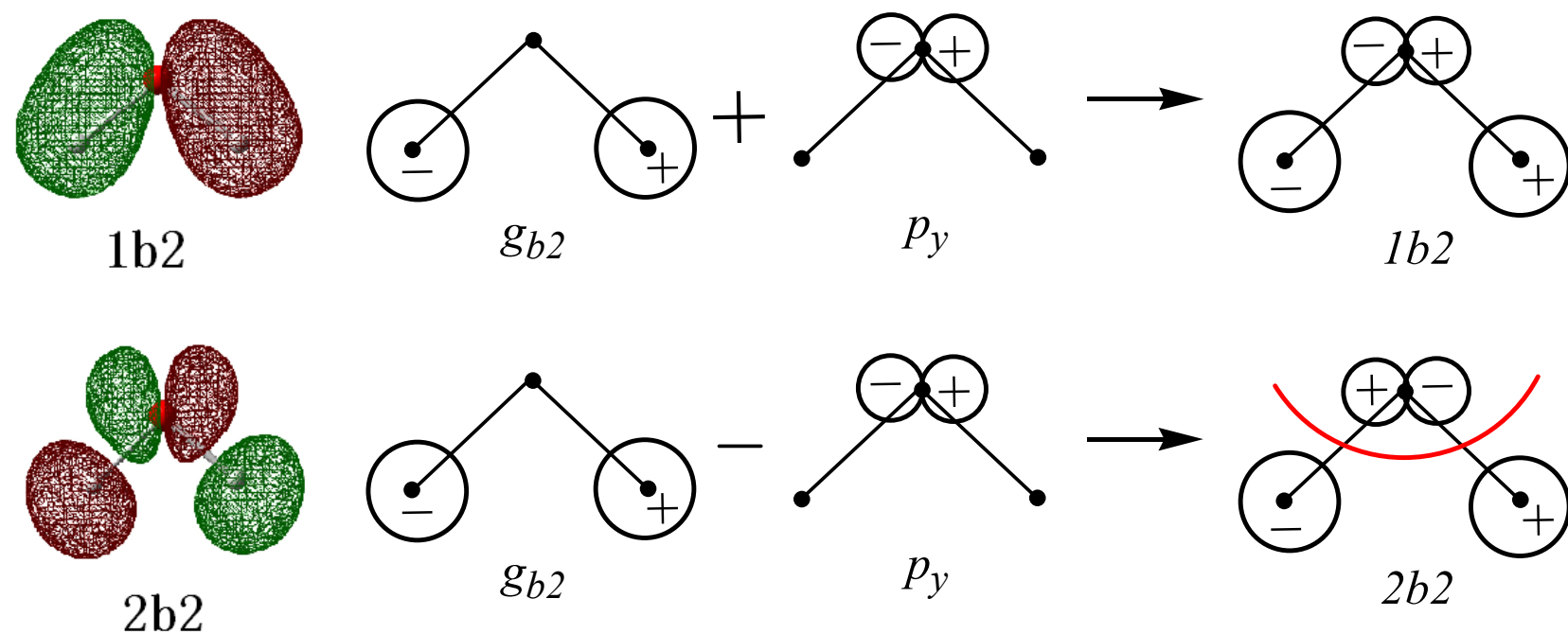
1b1

4a1

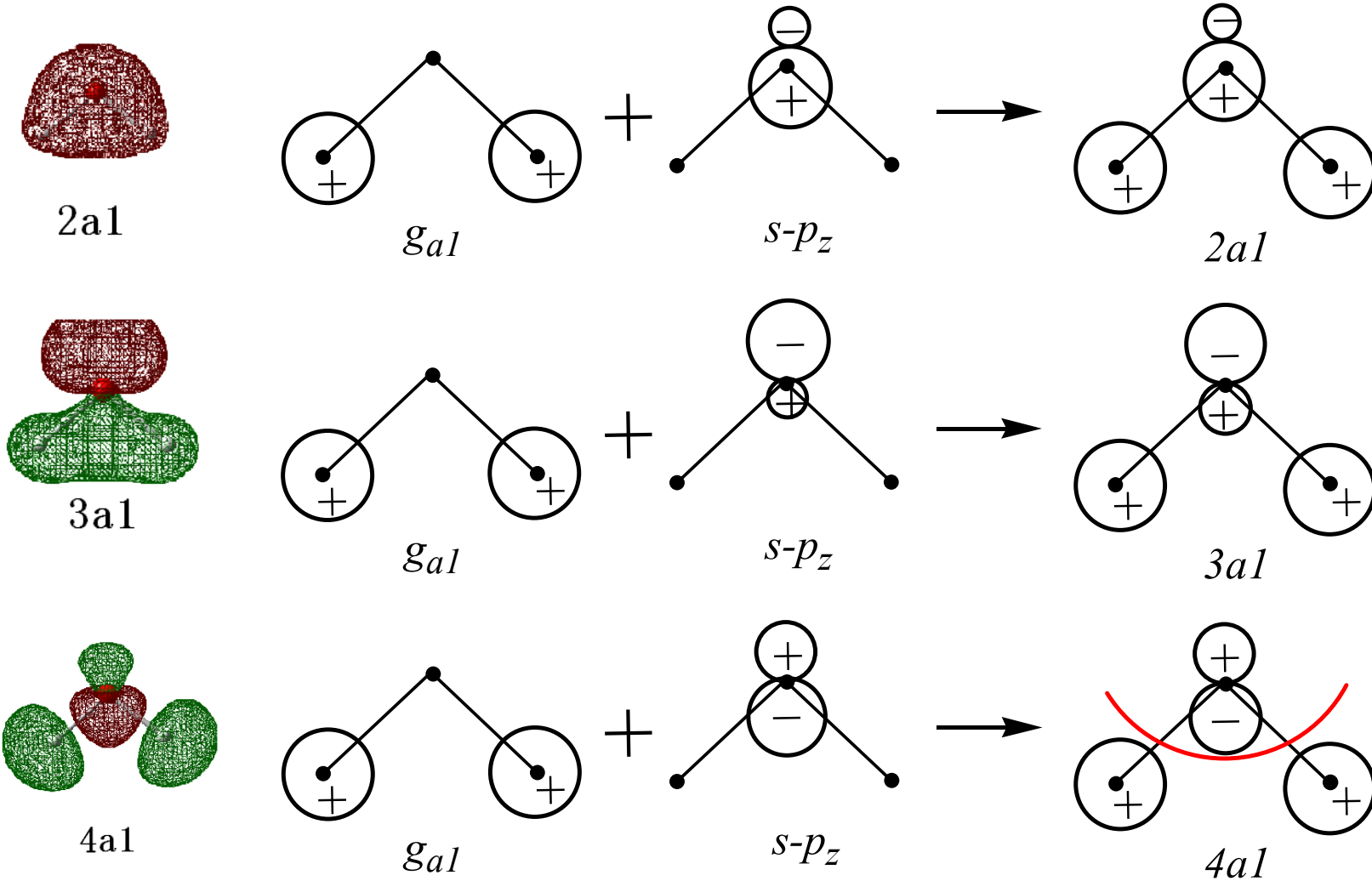
2b2

## 2. 水分子的分子轨道法定性处理

### 4)、原子轨道相互作用示意图



## 2. 水分子的分子轨道法定性处理



## 2.水分子的分子轨道法定性处理

### 结果讨论

#### (1) MO的构成特点

- (A) 能量最低的MO ( $1a_1$ ) 全部贡献来自氧原子的  $1s$
- (B) 成键MO为:  $2a_1$  、  $1b_2$  、  $3a_1$
- (C) 最高占据轨道  $1b_1$  是非键性质, 来自氧原子的  $2p_x$
- (D)  $4a_1$  、  $2b_2$  是反键MO (空轨道)。

#### (2) 电子谱项

若分子开壳层电子组态为  $(y_1)^1 (y_2)^1$ , 其中  $y_1$  和  $y_2$  分别属于点群的不可约表示  $G_1$  和  $G_2$ , 则电子谱项由直积表示  $G_1 \times G_2$  约化给出。

闭壳层组态的电子谱项属全对称表示。

基组态:  $(1a_1)^2 (2a_1)^2 (1b_2)^2 (3a_1)^2 (1b_1)^2$

电子谱项:  $X^1A_1$

第一激发组态:  $(1a_1)^2 (2a_1)^2 (1b_2)^2 (3a_1)^2 (1b_1)^1 (4a_1)^1$

电子谱项:  ${}^1B_1$  、  ${}^3B_1$

## 2. 水分子的分子轨道法定性处理

### 小结

多原子分子定域键的分子轨道法定性处理步骤

- (1) 分析原子轨道集合在分子对称操作下的变换性质；
- (2) 结构等价原子的相应AO按对称性组合成群轨道 (SALC) 即：  
分子轨道碎片；
- (3) 按对称性匹配和能量相近的原则，将不等价原子的轨道碎片  
组合成分子轨道：  
    同位相组合 ---- 成键（无节面），  
    反位相组合 ---- 反键（有节面）；
- (4) 能级图、电子组态、电子光谱项。

## 3. Hückel分子轨道法(HMO)

**HISTORY** HMO法为量子化学的经验方法之一。它在1930年代提出，1950-1960年代得到较为广泛的应用。HMO法在了解有机共轭分子的性质方面，曾起到过很好的作用。

**适用对象：**(1) 大 p 键(共轭分子)：C<sub>6</sub>H<sub>6</sub>, NO<sub>2</sub>

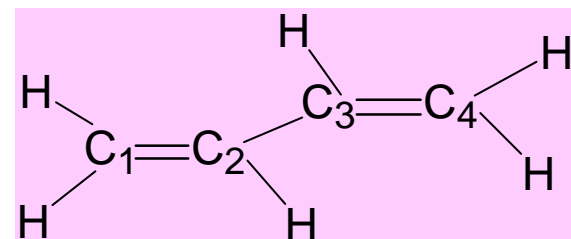
(2) 多中心非 p 键(缺电子体系)：B<sub>2</sub>H<sub>6</sub>, H<sub>3</sub><sup>+</sup>

(3) 原子团簇：Cu<sub>3</sub>

### 有机分子的共轭效应：

C1C2键长=1.35Å > 典型CC双键键长(1.33Å)

C2C3键长=1.46Å < 典型CC单键键长(1.54Å)



CC键长趋向平均化，单双键之分不明显

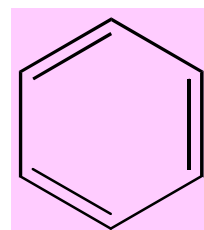
**结论：存在遍及整个分子的化学键——离域键（非定域键）**

### 3. Hückel分子轨道法(HMO)

#### 1). HMO方法的基本概念

(1)  $\pi$  电子近似: ( $\sigma - \pi$ 分离)

共轭大分子: 原子核、内层电子、非键电子和  $\sigma$  电子一起构成 分子骨架。  $\pi$  电子在这个分子骨架构成的等效势场中运动。只具体处理  $\pi$  电子。



以苯为例, 讨论分子的电子结构时, 可把  $\sigma$  电子与  $\pi$  电子分开处理, 这就叫做  $\sigma - \pi$  分离。

(2) 单电子近似       $\pi$  电子Hamiltonian:

$$\hat{H}_\pi = \sum_{n=1}^N \hat{h}^{eff}(n)$$

$$\hat{H}_\pi \Psi = E\Psi$$

$$E = \sum \varepsilon_i$$

$$\Psi = |\psi_{k1}(1)\psi_{k2}(2)\dots\psi_{kN}(N)|$$

$$\hat{h}^{eff}(1)\psi_i(1) = \varepsilon_i\psi_i(1)$$

## 3. Hückel分子轨道法(HMO)

### 1). HMO方法的基本概念

(3) LCAO-MO近似

只涉及与形成  $\pi$  键有关的原子轨道

$$\psi_i = \sum_{\nu} C_{\nu i} \phi_{\nu}$$

构建系数方程组

$$\sum_{\nu=1}^N (h_{\mu\nu} - \varepsilon S_{\mu\nu}) C_{\nu i} = 0$$

$$\mu = 1, 6 \quad N; \quad i = 1, 6 \quad N$$

$$h_{\mu\nu} = \langle \varphi_{\mu} | \hat{h}^{eff} | \varphi_{\nu} \rangle \quad S_{\mu\nu} = \langle \varphi_{\mu} | \varphi_{\nu} \rangle$$

$$\xrightarrow{\hspace{1cm}} \begin{pmatrix} h_{11} - \varepsilon S_{11} & h_{1n} - \varepsilon S_{1n} \\ h_{n1} - \varepsilon S_{n1} & h_{nn} - \varepsilon S_{nn} \end{pmatrix} \begin{pmatrix} c_1 \\ c_n \end{pmatrix} = \begin{pmatrix} 0 \\ 0 \end{pmatrix} \xrightarrow{\hspace{1cm}} |\mathbf{h} - \varepsilon \mathbf{S}| = 0 \xrightarrow{\hspace{1cm}} \psi_i = \sum_{\nu} C_{\nu i} \phi_{\nu}$$

矩阵表示                           久期方程                           分子轨道

### 3. Hückel分子轨道法(HMO)

#### 1). HMO方法的基本概念

##### (4) Hückel近似

库仑积分 (Coulomb integral) : 
$$h_{vv} = \langle \varphi_v | \hat{h}^{eff} | \varphi_v \rangle = \alpha$$

重叠积分 (Overlap integral) : 
$$S_{\mu\nu} = \langle \varphi_\mu | \varphi_\nu \rangle = \delta_{\mu\nu} = \begin{cases} 1 & \mu = \nu \\ 0 & \mu \neq \nu \end{cases}$$

共振积分 (Resonance integral) :

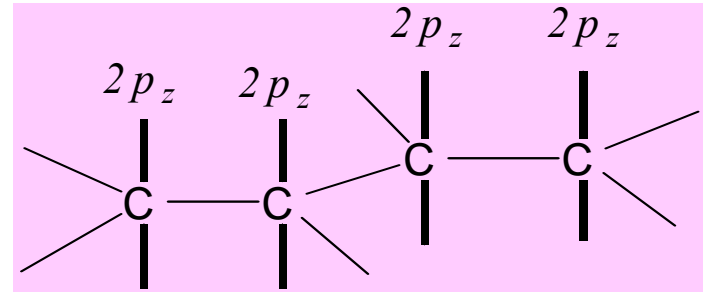
$$h_{\mu\nu} = \langle \varphi_\mu | \hat{h}^{eff} | \varphi_\nu \rangle = \begin{cases} 0 & \mu, \nu \text{不相邻(经典结构中不成键)} \\ \beta & \mu, \nu \text{相邻(经典结构中成键)} \end{cases}$$

### 3. Hückel分子轨道法(HMO)

2). 丁二烯的HMO处理



碳原子均为sp<sup>2</sup>杂化，每个杂化轨道与相邻原子形成σ键；余下1个2p<sub>z</sub>原子轨道和1个电子形成大π键。



采用Hückel近似，方程组：

$$\begin{pmatrix} \alpha - \varepsilon & \beta & 0 & 0 \\ \beta & \alpha - \varepsilon & \beta & 0 \\ 0 & \beta & \alpha - \varepsilon & \beta \\ 0 & 0 & \beta & \alpha - \varepsilon \end{pmatrix} \begin{pmatrix} C_1 \\ C_2 \\ C_3 \\ C_4 \end{pmatrix} = \begin{pmatrix} 0 \\ 0 \\ 0 \\ 0 \end{pmatrix}$$

$$\frac{\alpha - \varepsilon}{\beta} = x \quad \text{则:}$$

$$\begin{pmatrix} x & 1 & 0 & 0 \\ 1 & x & 1 & 0 \\ 0 & 1 & x & 1 \\ 0 & 0 & 1 & x \end{pmatrix} \begin{pmatrix} C_1 \\ C_2 \\ C_3 \\ C_4 \end{pmatrix} = \begin{pmatrix} 0 \\ 0 \\ 0 \\ 0 \end{pmatrix}$$

### 3. Hückel分子轨道法(HMO)

#### 2). 丁二烯的HMO处理

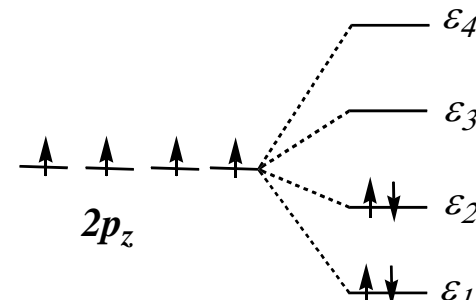
$$\begin{vmatrix} x & 1 & 0 & 0 \\ 1 & x & 1 & 0 \\ 0 & 1 & x & 1 \\ 0 & 0 & 1 & x \end{vmatrix} = 0 \quad \xrightarrow{\text{降阶}} \quad x \cdot \begin{vmatrix} x & 1 & 0 \\ 1 & x & 1 \\ 0 & 1 & x \end{vmatrix} - 1 \cdot \begin{vmatrix} 1 & 1 & 0 \\ 0 & x & 1 \\ 0 & 1 & x \end{vmatrix} = 0$$

$$\xrightarrow{} x^4 - 3x^2 + 1 = 0 \quad \xrightarrow{} (x^2 - x - 1)(x^2 + x - 1) = 0$$

解  $\xrightarrow{} x = \frac{(1 \pm \sqrt{5})}{2} = 1.618, 0.618 \quad x = \frac{(-1 \pm \sqrt{5})}{2} = -0.618, -1.618$

分子轨道能量  
：

$$\begin{aligned}\varepsilon_1 &= \alpha + 1.618\beta \\ \varepsilon_2 &= \alpha + 0.618\beta \\ \varepsilon_3 &= \alpha - 0.618\beta \\ \varepsilon_4 &= \alpha - 1.618\beta\end{aligned}$$



### 3. Hückel分子轨道法(HMO)

#### 2). 丁二烯的HMO处理

分子轨道（单电子波函数）

$$\varepsilon_i(x_i) \rightarrow \{C_{\nu i}\} \rightarrow \psi_i = \sum_{\nu=1}^4 C_{\nu i} \varphi_{\nu}$$

$$\begin{pmatrix} x & 1 & 0 & 0 \\ 1 & x & 1 & 0 \\ 0 & 1 & x & 1 \\ 0 & 0 & 1 & x \end{pmatrix} \begin{pmatrix} C_1 \\ C_2 \\ C_3 \\ C_4 \end{pmatrix} = \begin{pmatrix} 0 \\ 0 \\ 0 \\ 0 \end{pmatrix}$$

归一化：  $\int |\psi_i|^2 d\tau = c_{1i}^2 + c_{2i}^2 + c_{3i}^2 + c_{4i}^2 = 1$

丁二烯的 p 分子轨道：

$$\begin{cases} \psi_1 = 0.3717\varphi_1 + 0.6015\varphi_2 + 0.6015\varphi_3 + 0.3717\varphi_4 \\ \psi_2 = 0.6015\varphi_1 + 0.3717\varphi_2 - 0.3717\varphi_3 - 0.6015\varphi_4 \\ \psi_3 = 0.6015\varphi_1 - 0.3717\varphi_2 - 0.3717\varphi_3 + 0.6015\varphi_4 \\ \psi_4 = 0.3717\varphi_1 - 0.6015\varphi_2 + 0.6015\varphi_3 - 0.3717\varphi_4 \end{cases}$$

### 3. Hückel分子轨道法(HMO)

#### 2). 丁二烯的HMO处理

$$\begin{cases} \psi_1 = A\varphi_1 + B\varphi_2 + B\varphi_3 + A\varphi_4 \\ \psi_2 = B\varphi_1 + A\varphi_2 - A\varphi_3 - B\varphi_4 \\ \psi_3 = B\varphi_1 - A\varphi_2 - A\varphi_3 + B\varphi_4 \\ \psi_4 = A\varphi_1 - B\varphi_2 + B\varphi_3 - A\varphi_4 \end{cases}$$

(1) 从  $\psi_1$  到  $\psi_4$  节点数依次为0、1、2、3，能量依次增高。

(2)  $\psi_2$  为最高占据轨道(HOMO)， $\psi_3$  为最低空轨道(LUMO)，统称前线分子轨道(FMO)。

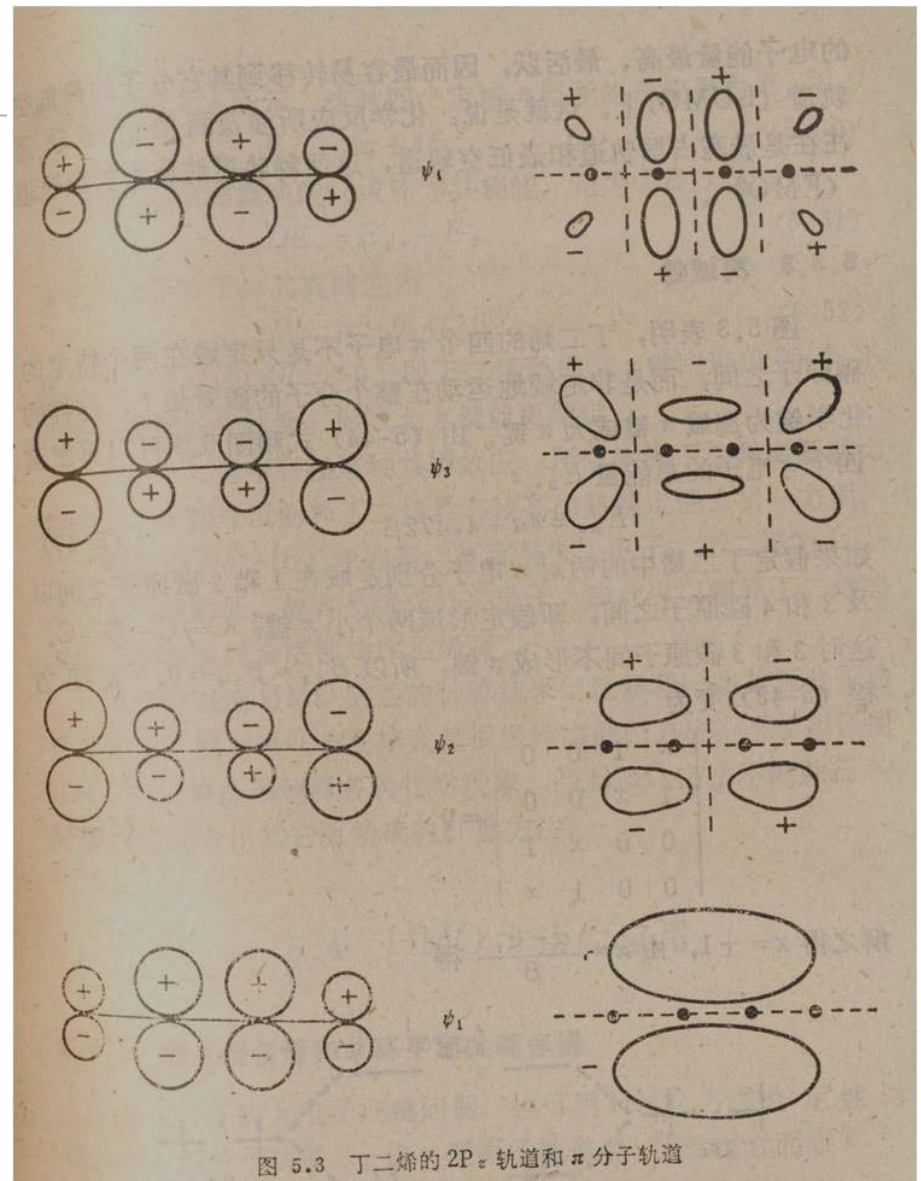


图 5.3 丁二烯的  $2P_z$  轨道和  $\pi$  分子轨道

### 3. Hückel分子轨道法(HMO)

#### 2). 丁二烯的HMO处理

$$\begin{cases} \psi_1 = A\varphi_1 + B\varphi_2 + B\varphi_3 + A\varphi_4 \\ \psi_2 = B\varphi_1 + A\varphi_2 - A\varphi_3 - B\varphi_4 \\ \psi_3 = B\varphi_1 - A\varphi_2 - A\varphi_3 + B\varphi_4 \\ \psi_4 = A\varphi_1 - B\varphi_2 + B\varphi_3 - A\varphi_4 \end{cases}$$

(1) 从  $\psi_1$  到  $\psi_4$  节点数依次为0、1、2、3，能量依次增高。

(2)  $\psi_2$  为最高占据轨道(HOMO)， $\psi_3$  为最低空轨道(LUMO)，统称前线分子轨道(FMO)。

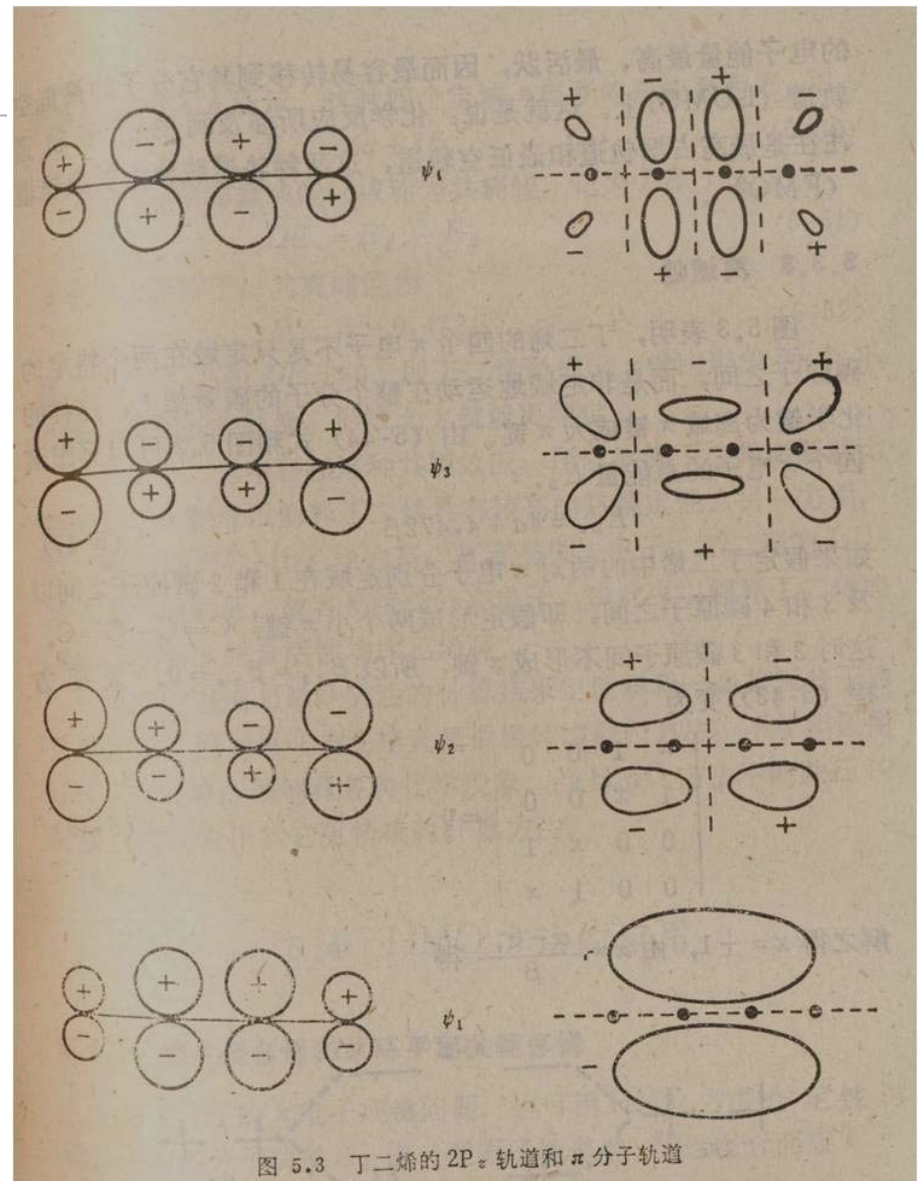


图 5.3 丁二烯的  $2P_z$  轨道和  $\pi$  分子轨道

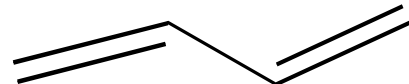
## 4. HMO方法与共轭分子性质

### 1)、离域能（共振能）

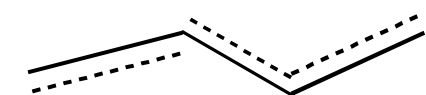
经典结构几个小  $\pi$  键总能量与共轭大  $\pi$  键的能量之差。

$$\Delta E_{\pi} = E_{L\pi} - E_{D\pi}$$

定域小  $\pi$  键的电子总能量



离域大  $\pi$  键的电子总能量



丁二烯

定域  $\pi$  键模型

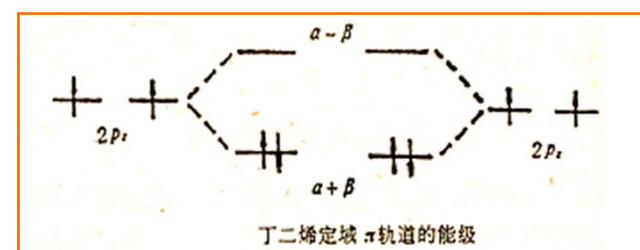
:

$$\begin{vmatrix} x & 1 & 0 & 0 \\ 1 & x & 0 & 0 \\ 0 & 0 & x & 1 \\ 0 & 0 & 1 & x \end{vmatrix} = 0 \quad \Rightarrow$$

$$\epsilon_1 = \epsilon_2 = \alpha + \beta$$

$$\epsilon_3 = \epsilon_4 = \alpha - \beta$$

$$\Rightarrow E_{L\pi} = 4 \times (\alpha + \beta)$$

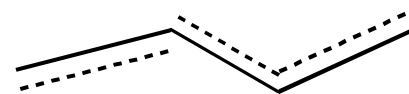


## 4. HMO方法与共轭分子性质

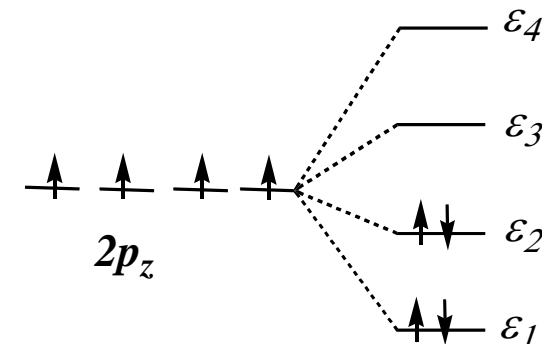
### 1)、离域能（共振能）

离域 $\pi$ 键模型

:



$$\begin{vmatrix} x & 1 & 0 & 0 \\ 1 & x & 1 & 0 \\ 0 & 1 & x & 1 \\ 0 & 0 & 1 & x \end{vmatrix} = 0$$



$$E_{D\pi} = 2(\alpha + 1.618\beta) + 2(\alpha + 0.618\beta) = 4\alpha + 4.472\beta$$

$$DE_{\pi} = E_{L\pi} - E_{D\pi}$$

$$\begin{aligned} \therefore DE_{\pi} &= (4 - 4.472)\beta \\ &= -0.472\beta \\ &= 0.472|\beta| \end{aligned}$$

离域能越大，分子的热稳定性越高，热解越困难。

## 4. HMO方法与共轭分子性质

### 2)、电荷分布（电荷布居数，Population）

分子轨道：  $\psi_j = \sum_{\nu=1}^N C_{\nu j} \phi_{\nu}$

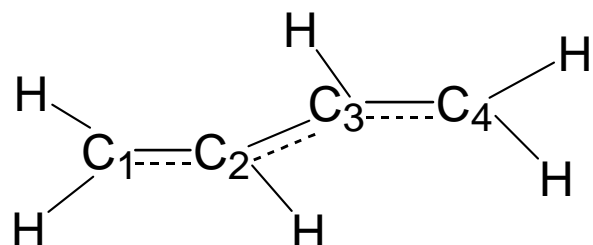
$|C_{\nu j}|^2 \propto \psi_j$  上的电子在碳原子n附近出现的  
几率。

碳原子n上  $\pi$  电子的布居数：  $q_{\nu} = \sum_j n_j |C_{\nu j}|^2$   $n_j$  MO  $\psi_j$  上的占据电子

例：丁二烯的电荷分布

占据轨道

$$\begin{cases} \psi_1 = 0.3717\phi_1 + 0.6015\phi_2 + 0.6015\phi_3 + 0.3717\phi_4 \\ \psi_2 = 0.6015\phi_1 + 0.3717\phi_2 - 0.3717\phi_3 - 0.6015\phi_4 \end{cases}$$



$$q_{\nu} = \sum_j n_j |C_{\nu j}|^2$$

$$q_1 = 2 \times 0.3717^2 + 2 \times 0.6015^2 = 1.0$$

## 4. HMO方法与共轭分子性质

### 3)、键级

双原子分子键级= (总成键-总反键) /2 (定域键)

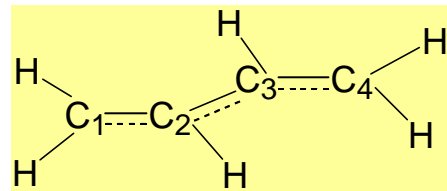
离域键:  $C_{\mu j}C_{\nu j}$  代表电子在 m, n 碳原子间的原子轨道重迭, 反映成键强弱。

$$\psi_j = \sum_{\nu=1}^N C_{\nu j} \varphi_\nu$$

原子m与n 间的π键级:

$$P_{\mu\nu}^\pi = \sum_j n_j C_{\mu j} C_{\nu j}$$

$n_j$  为分子轨道占据数



$$\begin{cases} \psi_1 = 0.3717\varphi_1 + 0.6015\varphi_2 + 0.6015\varphi_3 + 0.3717\varphi_4 \\ \psi_2 = 0.6015\varphi_1 + 0.3717\varphi_2 - 0.3717\varphi_3 - 0.6015\varphi_4 \end{cases}$$

$$P_{1,2}^\pi = 2 \times 0.3717 \times 0.6015 + 2 \times 0.6015 \times 0.3717 = 0.894 = P_{3,4}^\pi$$

$$\psi_1$$

$$\psi_2$$

$$P_{2,3}^\pi = 2 \times 0.6015^2 - 2 \times 0.3717^2 = 0.447$$

$$\psi_1$$

$$\psi_2$$

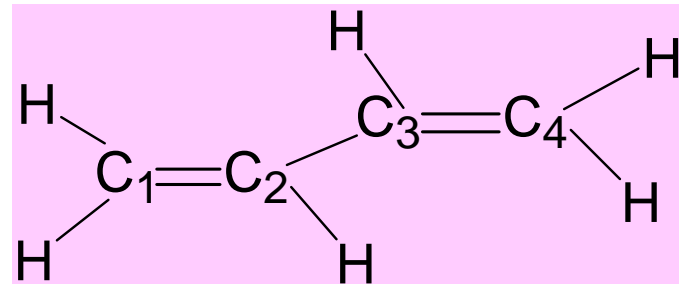
通过比较键级, 丁二烯中间的CC键比两端的CC键的双键性要小一些, 与实验吻合。

### 4. HMO方法与共轭分子性质

#### 3)、键级

用键级可大致地估算有机共轭分子CC键的键长：

$$l_{\mu\nu} = 1.50 - 0.16P_{\mu\nu}^{\pi}$$



实验：

C1-C2键长=1. 35Å

C2-C3键长=1. 46Å

HMO理论：

C1-C2键长=1. 36Å

C2-C3键长=1. 43Å

## 4. HMO方法与共轭分子性质

### 4)、自由价指数

自由价指数是反映某一原子剩余成键能力的休克尔参数

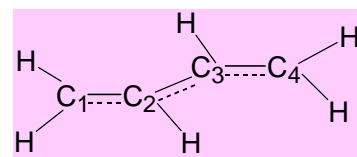
第n个原子的自由价被定义为：

$$F_v = N_{\max} - \sum_{\mu} P_{\mu v}$$

总键级：  $P_{\mu v} = P_{\mu v}^{\sigma} + P_{\mu v}^{\pi}$

$P^{\sigma}$  为 s 键键级，一般取为1。  
 $P^{\pi}$  为  $\pi$  键键级，用HMO法计算。

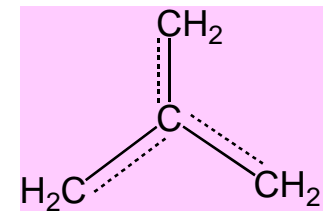
对键级的求和包含所有相邻原子， $N_{\max}$  为最大成键度，与原子的种类有关



$$F_1 = 4.732 - (2 + 1 + 0.894) = 0.838 = F_4$$

$$F_2 = 4.732 - (3 + 0.894 + 0.447) = 0.391 = F_3$$

两端的碳原子剩余成键能力大。

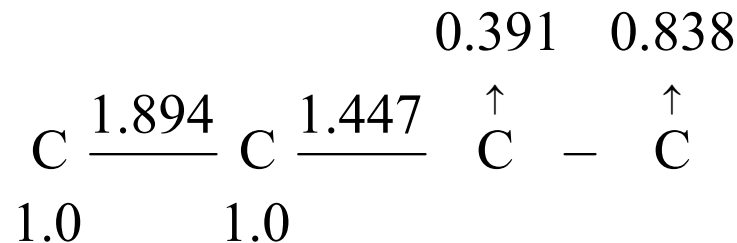


碳原子  $N_{\max} = 4.732$

## 4. HMO方法与共轭分子性质

### 5)、分子图

在分子的碳骨架结构图上标出电荷密度、键级、自由价指数



通过分子图的分析，可以了解共轭分子的电荷分布、结构(键长)、极性及反应特性

### 分子图的应用

- (1) 键的性质和分子稳定性 (键级)
- (2) 计算偶极矩 (原子净电荷、键长)
- (3) 判断分子化学活性.

自由基在自由价( F )最大处发生反应;  
亲核基团在电荷密度( q )最小处起反应;  
亲电子基团在电荷密度( q )最大处起反应;  
若电荷密度相等，各种基团均在自由价最大处发生反应

## 5. 离域 $\pi$ 键的形成条件和表示法

离域  $\pi$  键（大  $\pi$  键）：形成  $\pi$  键的电子不限于在两个原子之间运动，而是多个原子形成的分子骨架中运动

在经典结构式中由单键和双键交替连接的原子，常能够形成大  $\pi$  键

离域  $\pi$  键的形成常使体系的能量降低，分子的稳定性增加

### 形成大 $\pi$ 键的条件

- (1) 原子共面，每个原子都有互相平行相同的p轨道，且这些p 轨道能有效重叠；
- (2) 总的  $\pi$  电子数少于参与成键的p轨道数的2倍。

### 离域 $\pi$ 键的表示法

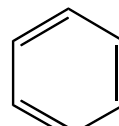
$$\prod_n^m$$

下标  $n$  为 p 轨道数（参加成键的原子数目）

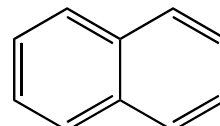
上标  $m$  为 p 电子数



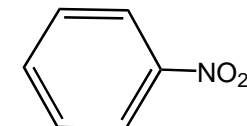
$$\Pi_4^4$$



$$\Pi_6^6$$



$$\Pi_{10}^{10}$$

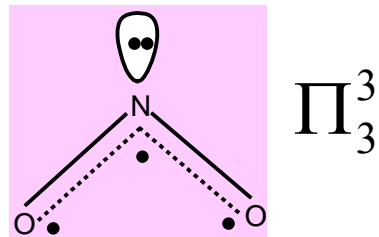


$$\Pi_9^{10}$$

## 5. 离域 $\pi$ 键的形成条件和表示法

### 1). 无机共轭分子

(i) 二氧化氮  $\text{NO}_2$  N:  $\text{sp}^2$ 杂化, 余下一个2p轨道, 垂直于分子平面



久期方程

$$\begin{vmatrix} \alpha_O - \varepsilon & \beta & 0 \\ \beta & \alpha_N - \varepsilon & \beta \\ 0 & \beta & \alpha_O - \varepsilon \end{vmatrix} = 0$$

解:

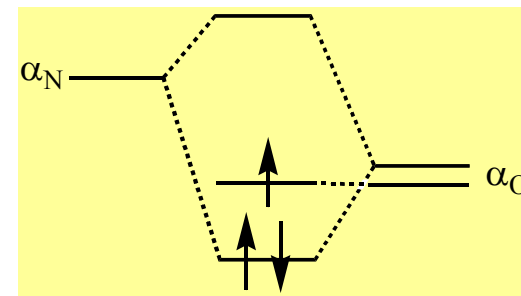
$$(\alpha_O - \varepsilon)^2 (\alpha_N - \varepsilon) - 2\beta^2 (\alpha_O - \varepsilon) = 0$$

$$(\alpha_O - \varepsilon)[\varepsilon^2 - (\alpha_O + \alpha_N)\varepsilon + \alpha_O \alpha_N - 2\beta^2] = 0$$

$$\varepsilon_1 = \frac{1}{2} [(\alpha_N + \alpha_O) - \sqrt{(\alpha_N - \alpha_O)^2 + 8\beta^2}]$$

$$\varepsilon_2 = \alpha_O$$

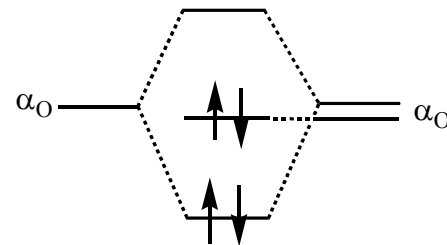
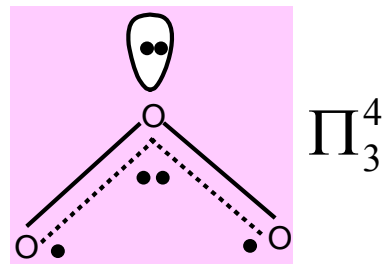
$$\varepsilon_3 = \frac{1}{2} [(\alpha_N + \alpha_O) + \sqrt{(\alpha_N - \alpha_O)^2 + 8\beta^2}]$$



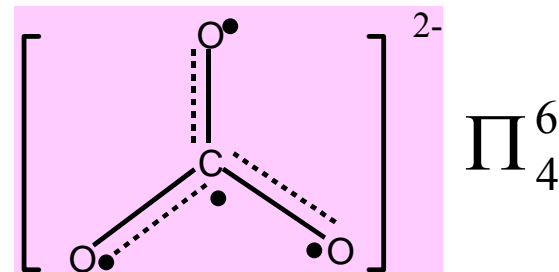
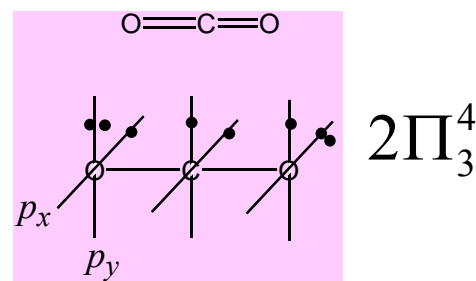
## 5. 离域 $\pi$ 键的形成条件和表示法

### 1). 无机共轭分子

(ii)  $O_3$  中心O:  $sp^2$ 杂化, 余下一个2p轨道, 垂直于分子平面



(iii) 二氧化碳  $CO_2$  C:  $sp$ 杂化, 余下两个相互垂直的2p轨道



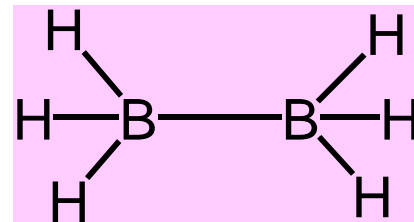
(iv) 碳酸根  $CO_3^{2-}$  C:  $sp^2$ 杂化, 余下一个2p轨道, 垂直于分子平面

## 6. HMO应用：缺电子分子的多中心桥键

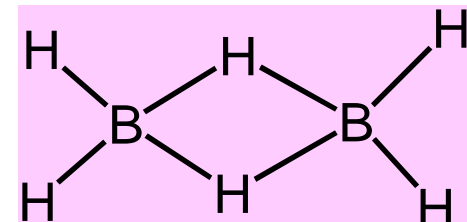
缺电子原子: 价电子数少于价轨道数

B 原子的组态为  $(1s)^2(2s)^2(2p)^1$  (三个价电子、四个价轨道)

乙硼烷 ( $B_2H_6$ ) 的几何构型:



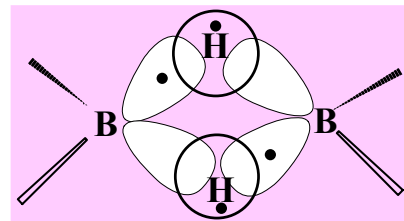
“乙烷式”



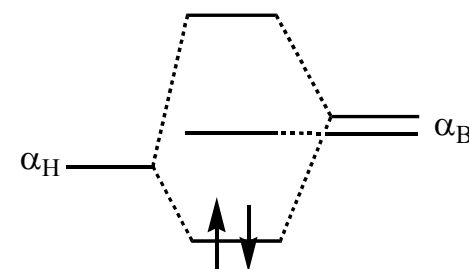
“乙烯式”

乙硼烷的三中心桥键

B:  $sp^3$ 杂化



$$\begin{vmatrix} \alpha_B - \varepsilon & \beta & 0 \\ \beta & \alpha_H - \varepsilon & \beta \\ 0 & \beta & \alpha_B - \varepsilon \end{vmatrix} = 0$$



此类多中心桥键在硼氢化合物中相当普遍

## 7. 群论在HMO方法中的应用

### 1)、基本思想

MO是AO的线性组合:

$$\psi_i = \sum_{\nu} C_{i\nu} \varphi$$

HMO法的数学处理:

$$(\mathbf{h} - \varepsilon \mathbf{S}) \mathbf{C} = \mathbf{0}$$

MO  $\{\psi_i\}$  为不可约表示的基, 可先将AO组合成SALC:

$$\left\{ \varphi_{\nu} \mid \nu = 1, 6 \ N \right\} \rightarrow \left\{ g_r^A \mid r = 6 \right\}, \ \left\{ g_s^B \mid S = 6 \right\}$$

按对称性分组用SALC (对称轨道) 做线性变分计算:

$$\psi_i^A = \sum_r C_{ir} g_r^A \quad \psi_j^B = \sum_s C_{is} g_s^B$$

采用SALC, 久期方程组将成为块对角化的形式:

$$\begin{pmatrix} A & 0 & 6 & 0 \\ 0 & B & 6 & 0 \\ 7 & 7 & 7 & 7 \\ 0 & 0 & 6 & 9 \end{pmatrix} \begin{pmatrix} C_1 \\ C_2 \\ 7 \\ C_n \end{pmatrix} = \begin{pmatrix} 0 \\ 0 \\ 7 \\ 0 \end{pmatrix} \quad (\mathbf{h} - \varepsilon \mathbf{S}) \mathbf{C} = \mathbf{0}$$

基函数正交定理及其推论保证以下积分为零

$$h_{rs} = \langle g_r^A | \hat{h} | g_s^B \rangle = 0 \quad S_{rs} = \langle g_r^A | g_s^B \rangle = 0$$

## 7. 群论在HMO方法中的应用

### 2)、处理步骤:

( i ) 点群→子群→特征标表

( ii ) 选AO集合，对有机共轭分子：

$$(p_\pi) - \{\varphi_\nu\}$$

由AO的变换性质，得以全体AO集合为基所得可约表示的特征标：

$$\hat{R}\varphi_\nu = ? \rightarrow \chi_{\Gamma_{AO}}(\hat{R})$$

( iii ) 约化  $\Gamma_{AO}$  ， 可知MO的对称种类 。

( iv ) 造SALC:

$$\{g_r^A | r=6\} \quad \{g_s^B | s=6\}$$

( v ) 按对称类型分别用线性变分法处理。例如，A方块、B方块、E方块 .....

$$(\mathbf{h}^A - \varepsilon \mathbf{S}^A) \mathbf{C}^A = \mathbf{0}$$

$$(\mathbf{h}^B - \varepsilon \mathbf{S}^B) \mathbf{C}^B = \mathbf{0}$$

## 7. 群论在HMO方法中的应用

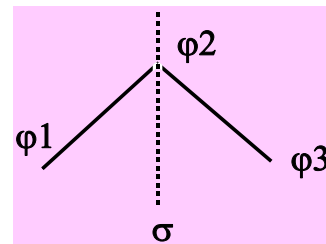
### 3)、例子

例1：烯丙基



每个C以sp<sup>2</sup>杂化，与相邻C以及H原子成键构成平面型分子骨架，尚余一个2p<sub>z</sub>AO和一个p电子，形成大π键

$C_{2v} \rightarrow$  子群  $C_s$



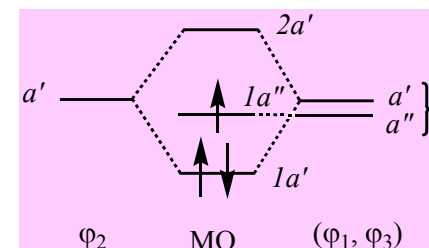
$C_s$	$E$	$\sigma$
$A'$	1	1
$A''$	1	-1
$\varphi_1$	$\varphi_1$	$\varphi_3$
$\varphi_2$	$\varphi_2$	$\varphi_2$
$\varphi_3$	$\varphi_3$	$\varphi_1$
$\chi_{\Gamma\pi}$	3	1

约化MO的对称性分类为

$$\therefore \Gamma_\pi = 2a' + a''$$

$$\varphi_2 \rightarrow a' \quad (\varphi_1, \varphi_3) \rightarrow a', a''$$

MO能级图

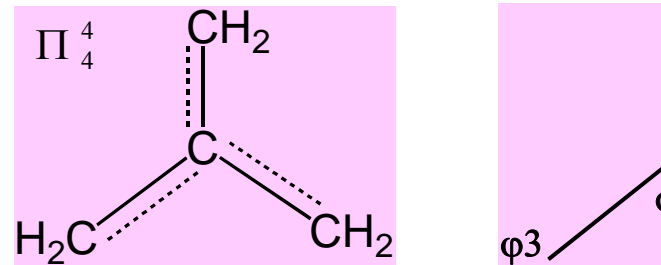


π 电子组态：  $(1a')^2 (1a'')^1$

## 7. 群论在HMO方法中的应用

例2：三次甲基甲烷

$D_{3h} \rightarrow C_3$  子群



特征标表

$C_3$	$E$	$C_3$	$C_3^2$
$A$	1	1	1
$E_1$	1	$\varepsilon$	$\varepsilon^*$
$E_2$	1	$\varepsilon^*$	$\varepsilon$

$$\varepsilon = e^{\frac{i2\pi}{3}} = -\frac{1}{2} + i\frac{\sqrt{3}}{2}$$

AO基的变换性质

$C_3$	$E$	$C_3$	$C_3^2$
$\varphi_1$	$\varphi_1$	$\varphi_1$	$\varphi_1$
$\varphi_2$	$\varphi_2$	$\varphi_3$	$\varphi_4$
$\varphi_3$	$\varphi_3$	$\varphi_4$	$\varphi_2$
$\varphi_4$	$\varphi_4$	$\varphi_2$	$\varphi_3$
$\chi_{\Gamma\pi}$	4	1	1

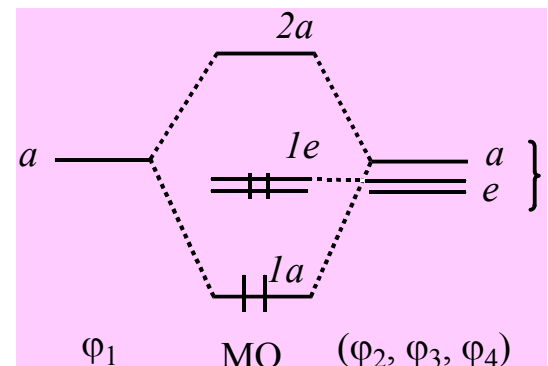
约化

$$\Gamma_\pi = 2a + e$$

对成性分类

$$\varphi_1 \rightarrow a \quad \varphi_2 \sim \varphi_4 \rightarrow a, e$$

MO能级图：



$\Pi$ 组态：

$$(1a)^2 (1e)^2$$

## 7. 群论在HMO方法中的应用

a 对称性的SALC :

$$g_1^a = \varphi_1$$

$$\varphi_2^a \propto \hat{p}^a \varphi_2 = \frac{1}{3} [\hat{E} + \hat{C}_3 + \hat{C}_3^2] \varphi_2 \quad \Rightarrow \quad \therefore g_2^a = \frac{1}{\sqrt{3}} (\varphi_2 + \varphi_3 + \varphi_4)$$

波函数的归一化利用了休克尔近似

$C_3$	$E$	$C_3$	$C_3^2$
$\varphi_1$	$\varphi_1$	$\varphi_1$	$\varphi_1$
$\varphi_2$	$\varphi_2$	$\varphi_3$	$\varphi_4$
$\varphi_3$	$\varphi_3$	$\varphi_4$	$\varphi_2$
$\varphi_4$	$\varphi_4$	$\varphi_2$	$\varphi_3$
$\chi_{\Gamma\pi}$	4	1	1

$$\langle g_2^a | g_2^a \rangle = \frac{1}{3} \langle \varphi_2 + \varphi_3 + \varphi_4 | \varphi_2 + \varphi_3 + \varphi_4 \rangle = \frac{1}{3} (1+1+1) = 1$$

$$\langle g_1^a | g_2^a \rangle = \frac{1}{\sqrt{3}} \langle \varphi_1 | \varphi_2 + \varphi_3 + \varphi_4 \rangle = 0$$

e 对称性的SALC :

$$\begin{cases} g_1^e = \frac{1}{\sqrt{6}} (2\varphi_2 - \varphi_3 - \varphi_4) \\ g_2^e = \frac{1}{\sqrt{2}} (\varphi_3 - \varphi_4) \end{cases}$$

它们已归一化且相互正交:  $\langle g_1^e | g_2^e \rangle = 0$

$$\langle 2\varphi_2 - \varphi_3 - \varphi_4 | \varphi_3 - \varphi_4 \rangle = 0$$

$$\text{取: } \psi = c_1 g_1^a + c_2 g_2^a + c_1' g_1^e + c_2' g_2^e$$

$$\text{则: } (\mathbf{h} - \varepsilon \mathbf{S}) \mathbf{C} = \mathbf{0} \rightarrow \begin{pmatrix} \mathbf{a} & \mathbf{0} \\ \mathbf{0} & \mathbf{e} \end{pmatrix} \mathbf{C} = \mathbf{0}$$

## 7. 群论在HMO方法中的应用

(1) 处理a方块:

$$\psi = c_1 g_1^a + c_2 g_2^a$$

$$g_2^a = \frac{1}{\sqrt{3}}(\varphi_2 + \varphi_3 + \varphi_4)$$

$$g_1^a = \varphi_1$$

$$\begin{pmatrix} h_{11} - \varepsilon S_{11} & h_{12} - \varepsilon S_{12} \\ h_{21} - \varepsilon S_{21} & h_{22} - \varepsilon S_{22} \end{pmatrix} \begin{pmatrix} c_1 \\ c_2 \end{pmatrix} = \begin{pmatrix} 0 \\ 0 \end{pmatrix}$$

由Hückel近似, 计算矩阵元

$$h_{11} = \langle g_1^a | \hat{h} | g_1^a \rangle = \langle \varphi_1 | \hat{h} | \varphi_1 \rangle = \alpha$$

$$h_{22} = \langle g_2^a | \hat{h} | g_2^a \rangle = \frac{1}{3} \langle \varphi_2 + \varphi_3 + \varphi_4 | \hat{h} | \varphi_2 + \varphi_3 + \varphi_4 \rangle = \alpha$$

$$h_{21} = h_{12} = \langle g_1^a | \hat{h} | g_2^a \rangle = \frac{1}{\sqrt{3}} \langle \varphi_1 | \hat{h} | \varphi_2 + \varphi_3 + \varphi_4 \rangle = \sqrt{3}\beta$$

$$S_{11} = S_{22} = 1$$

$$S_{21} = S_{12} = \langle g_1^a | g_2^a \rangle = 0$$

$$\therefore \begin{pmatrix} \alpha - \varepsilon & \sqrt{3}\beta \\ \sqrt{3}\beta & \alpha - \varepsilon \end{pmatrix} \begin{pmatrix} c_1 \\ c_2 \end{pmatrix} = \begin{pmatrix} 0 \\ 0 \end{pmatrix}$$

$$\varepsilon_1 = \alpha + \sqrt{3}\beta \rightarrow \frac{c_1}{c_2} = 1$$

$$\psi_1 = \frac{1}{\sqrt{2}}(g_1^a + g_2^a) = \frac{1}{\sqrt{6}}(\sqrt{3}\varphi_1 + \varphi_2 + \varphi_3 + \varphi_4)$$

$$\varepsilon_4 = \alpha - \sqrt{3}\beta \rightarrow \frac{c_1}{c_2} = -1$$

$$\psi_4 = \frac{1}{\sqrt{2}}(g_1^a - g_2^a) = \frac{1}{\sqrt{6}}(\sqrt{3}\varphi_1 - \varphi_2 - \varphi_3 - \varphi_4)$$

## 7. 群论在HMO方法中的应用

(2) 处理e方块:

$$\begin{pmatrix} \alpha - \varepsilon & 0 \\ 0 & \alpha - \varepsilon \end{pmatrix} \begin{pmatrix} c_1' \\ c_2' \end{pmatrix} = \begin{pmatrix} 0 \\ 0 \end{pmatrix}$$

$$\begin{cases} g_1^e = \frac{1}{\sqrt{6}}(2\varphi_2 - \varphi_3 - \varphi_4) \\ g_2^e = \frac{1}{\sqrt{2}}(\varphi_3 - \varphi_4) \end{cases}$$

$$\begin{aligned} \varepsilon_2 &= \langle g_1^e | \hat{h} | g_1^e \rangle = \frac{1}{6} \langle 2\varphi_2 - \varphi_3 - \varphi_4 | \hat{h} | 2\varphi_2 - \varphi_3 - \varphi_4 \rangle \\ &= \frac{1}{6} (4\alpha + \alpha + \alpha) = \alpha = \varepsilon_3 \end{aligned}$$

波函数:

$$\psi_2 = \frac{1}{\sqrt{6}}(2\varphi_2 - \varphi_3 - \varphi_4) \quad \psi_3 = \frac{1}{\sqrt{2}}(\varphi_3 - \varphi_4)$$

## 7. 群论在HMO方法中的应用

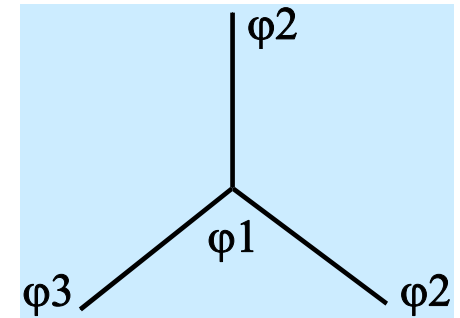
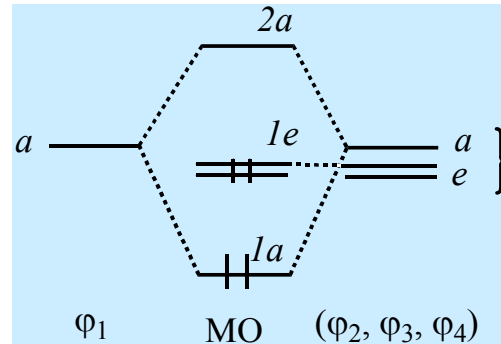
(3) C<sub>1</sub>和C<sub>2</sub>原子间的π键键级:

$$\psi_1 = \frac{1}{\sqrt{6}}(\sqrt{3}\varphi_1 + \varphi_2 + \varphi_3 + \varphi_4)$$

$$\psi_2 = \frac{1}{\sqrt{6}}(2\varphi_2 - \varphi_3 - \varphi_4)$$

$$\psi_3 = \frac{1}{\sqrt{2}}(\varphi_2 - \varphi_4)$$

$$\begin{aligned} P_{12}^\pi &= \sum_j n_j c_{uj} c_{vj} = \sum_j n_j c_{1j} c_{2j} = \\ &= 2 \cdot \left( \frac{1}{\sqrt{2}} \cdot \frac{1}{\sqrt{6}} \right) + 1 \cdot \left( 0 \cdot \frac{2}{\sqrt{6}} \right) + 1 \cdot \left( 0 \cdot \frac{1}{\sqrt{2}} \right) \\ &= \frac{1}{\sqrt{3}} \end{aligned}$$



C1和C2原子间总键级:

$$P_{12} = P_{12}^\pi + P_{12}^\sigma = \frac{1}{\sqrt{3}} + 1$$

$$\begin{aligned} \text{C1原子的总成键度 } \sum_\mu P_{1\mu} &= P_{12} + P_{13} + P_{14} \\ &= \left( \frac{1}{\sqrt{3}} + 1 \right) \cdot 3 = 4.732 \end{aligned}$$

C原子的自由价:

$$F_v = 4.732 - \sum_\mu P_{\mu\nu}$$

- A36. 试用 Huckel 近似确定分子  $\text{H}_3^+$ ,  $\text{H}_3$  和  $\text{H}_3^-$  的最稳定构型（线型的或三角形的）
- A37. 设环丁二烯是四方形构型，用 HMO 法计算环丁二烯的  $\pi$  电子能级。
- A38. 设丁二烯分子中有一个电子从最高占据轨道跃迁到最低空轨道，试计算这种激发态丁二烯分子的电荷密度、键级、自由价。
- A39. 试写出苯分子大  $\pi$  电子 HMO 法处理中的久期方程。
- A40. 试用 HMO 法计算假想分子三次甲基甲烷 $(\text{CH}_2)_3\text{C}$  的 MO 能级。
- A41. 试计算二环丁二烯分子的共轭能、电荷分布、键级和自由价，并画出分子图。